

ЭКСПЕРИМЕНТАЛЬНАЯ ПРОВЕРКА ТЕОРЕТИЧЕСКИХ РЕШЕНИЙ ЗАДАЧИ О ВЫДАВЛИВАНИИ

Д. П. СНЕГИРЕВ, В. В. ИСАЕВ
Представлена научным семинаром кафедры прикладной механики

Многие технологические операции сопровождаются стационарным гластическим деформированием. Примерами таких операций являются прямое холодное выдавливание и волочение. Для решения многих задач, связанных с этими процессами, нужно знать напряженное состояние обрабатываемого металла. Информация о напряженном состоянии необходима для оценки деформируемости металла, т. е. способности металла подвергаться деформированию без разрушения, определения контактных напряжений и деформирующих усилий.

Несмотря на значительный интерес ученых к осесимметричным задачам, напряженное состояние при указанных технологических операциях исследовано недостаточно. Аналитическое решение осесимметричных задач связано с определенными математическими трудностями даже при серьезных допущениях. В случае осесимметричной деформации дифференциальные уравнения для напряжений и скоростей деформации не гиперболичны [1]. Поэтому большинство теоретических решений получено для идеально-пластического тела в предположении о «полней пластичности», которое было впервые выдвинуто А. Хааром и Т. Карманом. Относительно применимости гипотезы «о полной пластичности» Р. Хилл отмечает [1] «...гипотеза Хаара—Кармана для металлов физически нереальна и она вводит ошибку неизвестной величины».

В связи с этим особое значение приобретает экспериментальная проверка теоретических решений. Число таких исследований остается весьма ограниченным. Среди них необходимо назвать исследования, выполненные экспериментально-расчетным методом визопластиичности, разработанным Э. Томсеном и сотрудниками [2].

Проведенные исследования были выполнены для заготовок, выдавленных через прямоугольные матрицы: из меди М1 с различными обжатиями — ($\psi = 64\%$; $\psi = 49\%$; $\psi = 36\%$) и заготовок, выдавленных при одном обжатии — $\psi = 64\%$, но из нескольких материалов — (латунь Л62; сталь 10; дуралюминий Д16).

$$\psi = \frac{D^2 - d^2}{D^2} \cdot 100\%, \quad (1)$$

где D — диаметр сечения контейнера;

d — диаметр калибрующего сечения матрицы.

Методика эксперимента отмечена в работе [3].

Напряженное состояние определяли экспериментально-расчетным

методом, заключающимся в сочетании методов измерения твердости деформированного металла и делительных сеток [4]. Определение напряжений выполняли на ЭВМ «БЭСМ-4» в узлах расчетной сетки.

Согласно предположению А. Хаара и Т. Кармана о «полней пластичности», окружное напряжение σ_r принимается равным одному из двух других главных напряжений. Главные напряжения определяли по формуле:

$$\sigma_{1,3} = \frac{\sigma_r + \sigma_z}{2} \pm \frac{1}{2} \sqrt{(\sigma_r - \sigma_z)^2 + 4\tau^2_{rz}} \quad (2)$$

С целью проверки указанного предположения для каждого образца построили графики распределения напряжений σ_r , σ_1 , σ_3 вдоль радиуса, отстоящего от горизонтальной площадки матрицы на расстоянии трех или четырех шагов расчетной сетки (рис. 1, 2). Шаг расчетной сетки выбирался в пределах $1,25 \div 1,45$ мм. Из приведенных графиков видно, что ни одно из главных напряжений ни у одного из исследуемых образцов не равно окружному напряжению. Однако в отдельных случаях напряжение σ_r практически совпадает с главным напряжением σ_3 ($\sigma_1 > \sigma_3$). Например, у образцов из меди М1 с обжатиями $\Psi = 49\%$ и $\Psi = 64\%$ такое совпадение наблюдается, но не на всей длине радиуса. Общей закономерностью является значительное отклонение окружного напряжения от главного σ_1 .

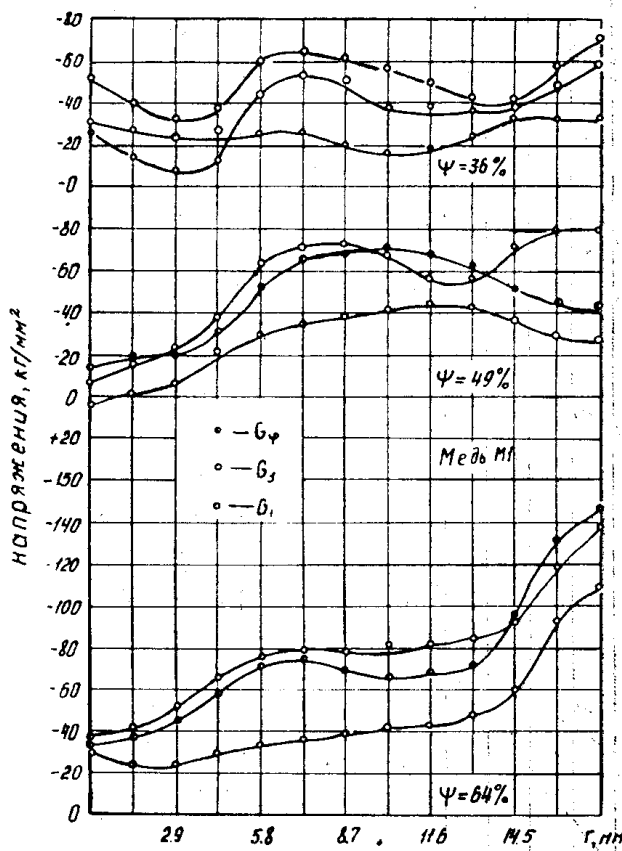


Рис. 1. Проверка предположения А. Хаара и Т. Кармана при выдавливании одного материала с различными обжатиями

Таким образом, главная предпосылка теоретических решений не находится в полном соответствии с экспериментальными данными.

Для дальнейшего сравнения полученных результатов использовали теоретическое решение Т. И. Глебова [5]. По этой методике были рас-

считаны напряжения в пластической области для образца из меди М1 с обжатием $\phi = 64\%$. Как уже указывалось ранее, практически все теоретические решения получены для неупрочняющегося материала. В отдельных случаях пытаются учесть упрочнение, вводя в расчет повышенный предел текучести. В связи с этим расчет напряжений выполнили для трех условий. В первых двух случаях считали материал неупрочняющимся, свойства материала учитывали различными пределами текучести: первоначальным и повышенным. Повышенный предел текучести определяли из кривой течения для меди М1 по среднему значению интенсивности деформации:

$$e_{icp} = \ln \frac{F}{f}, \quad (3)$$

здесь F — площадь контейнера;

f — площадь проходного сечения калибрующего пояска матрицы.

Для исследуемого образца $e_{icp}=1,0$, а повышенный предел текучести $\sigma_s^* = 39 \text{ кг}/\text{мм}^2$. В третьем случае учитывали повышенный предел текучести σ_t , определенный измерением твердости для расчетных точек. Этот расчет, разумеется, тоже является неточным, так как в соотношениях Т. И. Глебова производные от предела текучести по координатам принимались равными нулю.

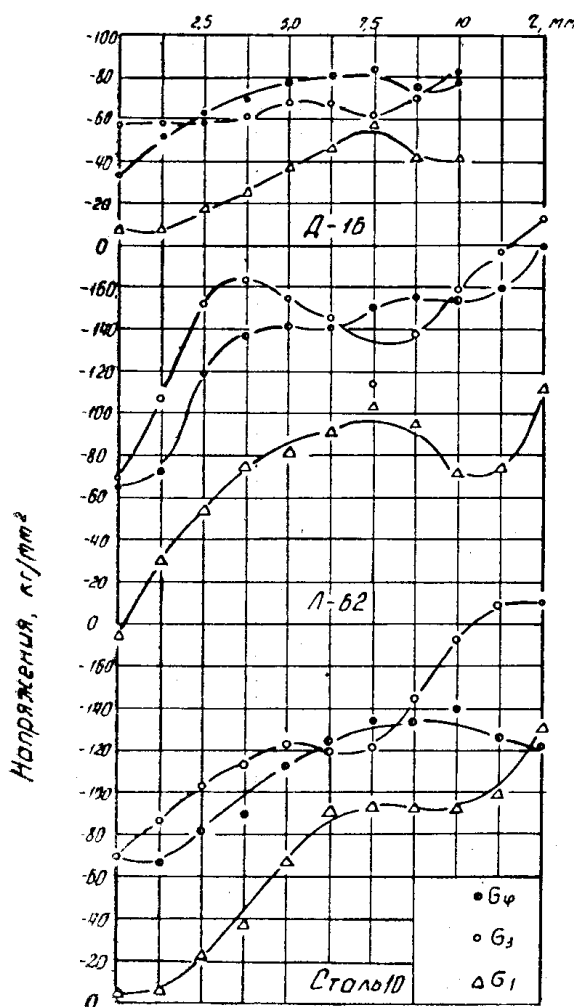


Рис. 2. Проверка предположения А. Харара и Т. Кармана при выдавливании различных материалов при одном обжатии

По изложенной методике были рассчитаны осевые напряжения σ_z вдоль радиуса, отстоящего от горизонтальной площадки матрицы на расстоянии пяти шагов расчетной сетки.

Экспериментальные значения напряжений и результаты расчета представлены на рис. 3. Из этого рисунка видно, что значения осевых напряжений, полученные при начальном пределе текучести, оказались заниженными, а при повышенном пределе текучести завышеными по сравнению с результатами расчета по переменному пределу текучести. Достаточно хорошее совпадение экспериментальных результатов с расчетными наблюдалось лишь в случае, когда исходили из переменного предела текучести. Однако это совпадение сохраняется лишь до половины радиуса, начиная от оси заготовки. В направлении к периферии результаты расчета резко расходятся с экспериментальными данными.

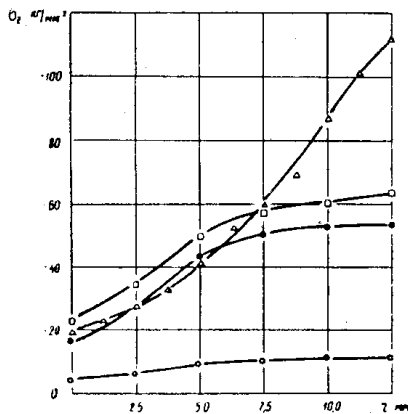


Рис. 3. Сравнение результатов эксперимента с теоретическим решением, учитывающим:

- — первоначальный предел текучести;
- — повышенный предел текучести;
- — переменный предел текучести;
- △ — результаты эксперимента

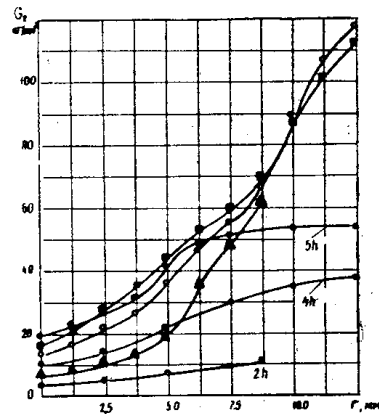


Рис. 4. Сравнение теоретического решения с результатами эксперимента:

- — теоретическое решение.

Результаты эксперимента

- | | | |
|--------------|----|---|
| □ — для ряда | 5h | — количество шагов |
| ● — то же | 4h | сетки |
| △ — » | 2h | ($h=1,25$ мм) от горизонтальной площадки матрицы |

В связи с тем, что теоретическое решение с учетом переменного предела текучести дает наилучшее совпадение с экспериментальными результатами, выполнили дополнительные расчеты по этой методике напряжений σ_r и σ_z вдоль трех радиусов, отстоящих на различном расстоянии от матричной воронки, и вдоль двух радиусов рассчитали касательное напряжение τ_{rz} .

Из графиков, представленных на рис. 4, видно, что имеется достаточно хорошее совпадение сравниваемых результатов от оси заготовки до половины меридионального сечения. У периферии наблюдается значительное расхождение экспериментальных и рассчитанных величин. Наиболее близкими оказались сравниваемые результаты вдоль радиусов, расположенных на расстоянии четырех-пяти шагов расчетной сетки от горизонтальной площадки матрицы. Объясняется это тем, что в этой области градиент предела текучести не является значительным. Вдоль радиусов, расположенных ближе к входу в матричное кольцо, наблюдается значительное расхождение сравниваемых результатов вблизи оси симметрии заготовки.

Хорошее совпадение экспериментальных и теоретических результатов у верхней границы пластической зоны, вблизи оси симметрии дает возможность использовать результаты теоретического исследования как граничные условия. Определив, например, на оси симметрии одно из нормальных напряжений и приняв полученное напряжение за граничное условие, можно производить дальнейшие расчеты в направлении к периферии.

Однако теоретические решения дают совершенно искаженную картину в области больших пластических деформаций, поэтому результаты решения методами теории идеальной пластичности непригодны для оценки деформируемости в рассматриваемых процессах.

ЛИТЕРАТУРА

1. Р. Х и л л. Математическая теория пластичности. ГИТЛ, 1956.
2. Э. Т о м с е н, Я н г, Ш. К о б а я ш и. Механика пластической деформации при обработке металлов. М., «Машиностроение», 1969.
3. В. А. Мишунин, В. А. Огородников, Д. П. Снегирев, П. А. Соколов. В сб.: «Технология машиностроения», вып. 29. Исследования в области пластичности и обработки металлов давлением. Тула, Изд-во Тульск. политехн. ин-та, 1973, стр. 27—33.
4. Г. Д. Д е л ь, В. А. О г о р о д н и к о в. Экспериментально-аналитическое исследование напряженного состояния при осесимметричном прессовании упрочняющегося металла. Изв. вузов, «Машиностроение», 1969, № 2.
5. Т. И. Г л е б о в. Определение напряженного состояния в осесимметричных задачах при статических и динамических процессах прессования. «Обработка металлов давлением в машиностроении», вып. 7, 1971.